

Stuburo juosmeninės dalies kanalo stenozė: klinikinė anatomija, diagnostika (I dalis)

Lumbar spinal stenosis: clinical anatomy, diagnostics

Valentinas Uvarovas, Giedrius Kvederas, Igoris Šatkuskas

Vilniaus universiteto Ortopedijos, traumatologijos ir plastinės chirurgijos klinika
Vilniaus greitosios pagalbos universitetinė ligoninė, Šiltynamių g. 29, LT-2043 Vilnius
El. paštas: valiusuvarovas@delfi.lt

Pasaulyje ženkliai auga pagyvenusių žmonių populiacija, kartu daugėja ligų, kuriomis dažniausiai sergama perkopus j^o antrą gyvenimo pusę. Viena iš tokų ligų yra stuburo kanalo stenozė, t. y. susiaurėjimas. Dažniausiai stuburo kanalo stenozės priežastis yra su amžiumi progresuojantys stuburo degeneracinių pokyčių. Ne visada arklio uodegos ar nervų šaknelių spaudimas sukelia dirginimo simptomus, tačiau progresuojant patologiniams anatominiams ir fiziologiniams pokyčiams gali išryškėti klinika. Kartais rentgenologiniai duomenys neatspindi klinikos, todėl labai svarbu tiksliai įvertinti ligos simptomus, jų eiga bei rentgenologinius duomenis, kad būtų pasirinkta tinkama gydymo taktika.

Prasminiai žodžiai: stuburo kanalo stenozė, neurogeninė klaudikacija, nervinės šaknelės, arklio uodega

Lumbar spinal stenosis remains one of the most frequently encountered clinical important degenerative spinal disorders in the ageing population. Spinal stenosis is a narrowing or stricture of the spinal canal. Cauda equina and nerve root compression are noted in many asymptomatic individuals. The spinal degenerative process associated with ageing leads to pathoanatomical and pathophysiological changes with occasional clinical consequences. With progressive degenerative changes and compression, spinal stenosis may become symptomatic, although the severity of the symptoms is not necessarily associated with the magnitude of the compression seen on imaging studies. A thorough understanding of the etiology, pathologic features and a correlation between the symptoms and the precise location of the thecal sac and nerve root are very important in evaluating the imaging studies and planning appropriate treatment.

Keywords: lumbar spinal stenosis, neurogenic claudication, spinal nerve root, cauda equina

Įvadas

Stuburo kanalo stenozė – tai įvairių stuburo ligų sukeltas lėtinis stuburo kanalo susiaurėjimas, pasireiš-

kiantis arklio uodegos (*cauda equina*) ir (ar) nervinių šaknelių spaudimo simptomais. Dažniausiai stuburo kanalo stenozės priežastis yra degeneracinių stuburo

pokyčiai, atsirandantys senstant, spondilolistezé arba kitos kanalo morfologiją keičiančios ligos. Kai kuriems lagoniams, kuriems yra stuburo kanalo morfologinių pokyčių, *cauda equina* ir nervinių šaknelių spaudimo simptomai nepasireiškia, tačiau progresuojant degeneraciniams pokyčiams gali išryškėti klinika. Todėl klinikinių stuburo stenozés ar neurogeninės klaudiacijos simptomų negalima paaškinti vien kanalo susiaurėjimu. Sveiko nervo spaudimas sukelia tik parestezias, jutimo, motorikos ir (ar) refleksų sutrikimus. Kad šiuos simptomus papildytų šaknelinio pobūdžio skausmas, būtinas nervo šaknelės dirginimas, uždegimas ar edema dėl užspauštų venų.

Klinikinė anatomija

Sagitalinis stuburo kanalo skersmuo yra 12 mm [1–3]. Mažiausias plotas – $77 \pm 13 \text{ mm}^2$ [1, 3–5].

Stuburo kanalo sienas sudaro:

- 1) priekinę – užpakaliniai slankstelio kūno, tarpslankstelinio disko paviršiai ir užpakalinis išilginis raištis;
- 2) šonines – vidinės slankstelių kojyčių ir tarpslankstelinų sąnarių dalys;
- 3) užpakalinę – slankstelio lanko plokštelių, geltonasis raištis.

Kanalo topografinėje anatomijoje išskiriama dvi zonas (1 pav.):

- 1) centrinė kanalo zona,
- 2) lateraline kanalo zona (nervinės šaknelės kanalas).

Dvi menamos linijos, išvestos frontalineje plokštumoje per kietojo smegenų dangalo maišo šonines sienas, dalija stuburo kanalą į vidurinę dalį – centrinę zoną, ir dvi šonines dalis – lateralines zonas. Centrinėje stuburo kanalo zonoje yra arklio uodega (*cauda equina*). Lateraline zona, arba nervinės šaknelės kanalu, eina nervinė šaknelė. Išilgine stuburo kryptimi yra trys lygiai: pedikulinis, foraminalinis ir disko (1 pav.). Nervinės šaknelės kanalas savo ruožtu skirstomas į tris zonas: *jėjimo, vidurinę ir išejimo*.

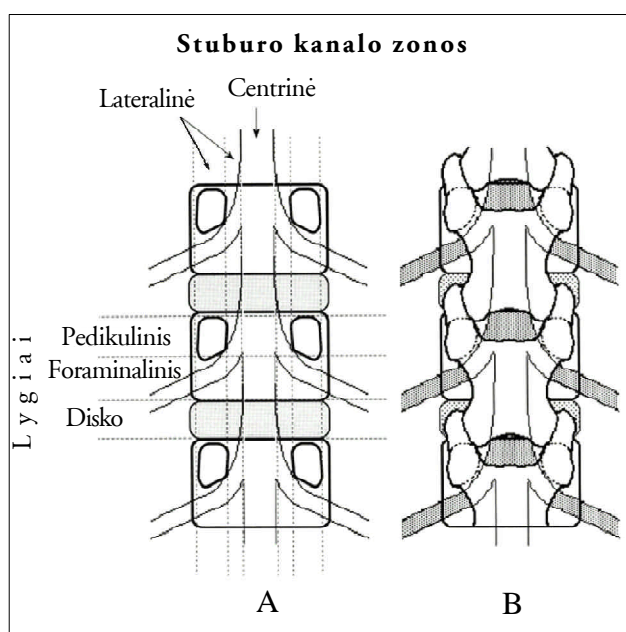
Jėjimo zona turi tik dvi sienas: priekinę (tarpslankstelinis diskas) ir užpakalinę (viršutinė sąnarinė arba). Vidurinę zoną riboja priekinė (slankstelio kūnas), šoninė (slankstelio kojytė) ir užpakalinė (slankstelio lanko plokštelių) sienos. Išejimo zonos sienas sudaro:

viršutinę ir apatinę – gretimų slankstelių viršutinę ir apatinę įlankos (*incisura vertebralis superior et inferior*), priekinę – tarpslankstelinis diskas, užpakalinę – tarpslankstelinis sąnarys. Siaurėjant stuburo kanalui, pagrindinis vaidmuo tenka trimis anatominėms struktūroms: 1) tarpslanksteliniam diskui bei disko projekcijoje susiformavusiems užpakaliniams osteofitams; 2) tarpslanksteliniam sąnariams (facetėms); 3) geltonajam raiščiui. Pagal stenozės anatominę lokalizaciją skiriama:

1) centrinė stuburo stenozė, arba tiesiog stuburo kanalo stenozė (centrinės stuburo kanalo zonos susiaurėjimas, spaudžiantis arklio uodegą). Centrinė stuburo stenozė susidaro dėl tarpslankstelinio disko bei geltonojo raiščio degeneracių pokyčių;

2) lateraline stuburo stenozė (dėl facetinių sąnarių panirimo ir hipertrofijos bei slankstelių kūnų osteofitų spaudžiamos iš anatominio segmento išeinanti nervinė šaknelė lateralineje stuburo kanalo zonoje – nervinės šaknelės kanale). Esant lateralinėi stuburo kanalo stenozei vyrauja šaknelinė simptomatika, dažniausiai būna asimetriniai kojų skausmai;

3) kombinuotoji stenozė dėl visų anatominų struktūrų degeneracių pokyčių.



1 pav. A – stuburo kanalo zonas ir lygiai. B – užpakalinis stuburo vaizdas, nervinių ir kaulinių struktūrų padėtys [11]

Etiologiniu požiūriu stuburo kanalo stenozė klasifikuojama į įgimtą ir įgytą [6] (1 lentelė).

Stuburo kanalo susiaurėjimo patomorfologijoje pagrindinis vaidmuo tenka šiemis veiksniams: kaulo ar raiščių hipertrofijai, disko išvaržai, spondilolistezai ar įvairiems jų deriniams [7]. Stuburo degeneracinės li-

ja įvairių kaulo bei kremzlės ląstelių augimą, diferenciaciją bei apoptozę. Degeneracijos metu balytmai ir jų receptoriai migruoja iš hialininės disko kremzlės į fibrozines žiedo ląsteles, dėl to formuojasi osteofitai.

Diagnostika

Stuburo kanalo stenozė dažniau pasitaiko vyresniems nei 50 metų žmonėms, šiek tiek dažniau moterims. Paprastai nugaros juosmeninės srities skausmas trunka keletą metų ir tik jam suintensyvėjus ligonis kreipiasi į gydytoją. 80% ligonių skundžiasi kojų skausmais, 65% – nugaros skausmais [31]. Būdingas rytinis sąstingis ir skausmas, praeinantys po lengvo fizinio krūvio. Skausmas sumažėja kiek palinkus į priekį. Tipiškas tokiai ligonių skundas – sustingimo jausmas, ilgiu pabuvus vienoje padėtyje. Kartais būdingas kojų silpnumas ir tirpimo jausmas, šaknelinio pobūdžio skausmas, plintantis žemiau kelio sąnario.

Klasikiniu atveju centrinė stuburo stenozė pasireiškia *neurogeninės klaudikacijos* (létinės *cauda equina* kompresijos) *sindromu*. Kliniškai neuroginė klaudikacija pasireiškia sédmenų ir kojų skausmais, atsiranandžiais lagoniu nuėjus tam tikrą atstumą ir praeinančius jam atsisėdus ar susilenkus į priekį.

Yra trys teorijos, aiškinančios neurogeninę klaudikaciją: išemijos [32, 33], mechaninio spaudimo [7] bei veninės stazės. Dažniau pasitaiko stuburo kanalo susiaurėjimas keliuose lygiuose [7]. Dėl degeneracinių procesų mažėja stuburo segmento judesiai, tai lemia didesnę aplinkinių segmentų apkrovą bei degeneraciją [7]. Lagoniu einant, tarpe tarp dviejų stenozių susidaro slankstelių vidinių veninių rezginių stazė. Padidėjęs veninis spaudimas dirgina arklio uodegos nervines šakneles, sukeldamas abiejų kojų neurogeninės klaudikacijos simptomatiką (2 pav.). Kai viename lygyje yra centrinė stuburo kanalo stenozė, o kitame – nervinės šaknelės (lateralinė) stenozė, susidaro vienos nervinės šaknelės veninė stazė, pasireiškianti vienos kojos neurogenine klaudikacija (2 pav.).

Lateralinę stuburo stenozę ir iš anatominio segmento išeinančios nervinės šaknelės spaudimą gali sukelti lateralinių kanalo zonos patologija. Izoliuota lateralinė stuburo stenozė kliniškai pasireiškia spaudžiamos nervi-

1 lentelė. Stuburo kanalo stenozės klasifikacija

- A. Įgimtų vystymosi anomalijų sukelta stenozė
 - 1. Achondroplazija
 - 2. Idiopatinis stuburo kanalo susiaurėjimas

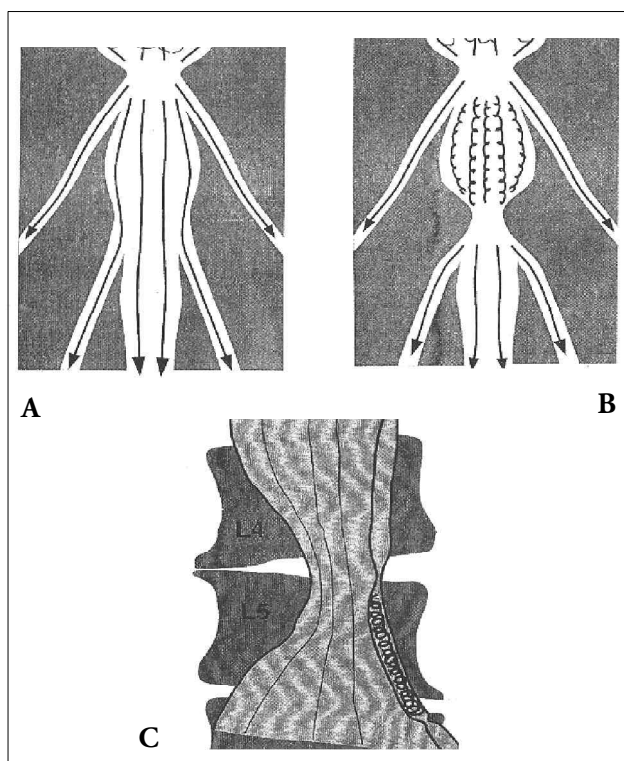
- B. Įgyta stuburo kanalo stenozė
 - 1. Stuburo degeneracinė patologija

Degeneracinė spondiloartrozė

- 2. Jatrogeninė (po lamektomijos, spondilodezės, diskektomijos)
- 3. Potrauminė
- 4. Įvairios skeleto ligos (Paget liga, fluorozė)

- C. Mišri stenozė, sukelta A ir B grupės ligų

gos dažniausiai prasideda nuo tarpslankstelinio disko pokyčių [8–12]. Tačiau disko degeneraciją gali lemti facetinių sąnarių artrozė [13]. Dažniausiai pažeidžiamai L_3-L_4 ir L_4-L_5 tarpslanksteliniai diskai [7]. L_5-S_1 segmentas nukenčia rečiau dėl savo anatominės padėties žemiau klubinių skiauteriei ir sąlyginai didesnių L_5 slankstelio skersinių ataugų bei prie jų besivirtinančių raiščių, tvirtai fiksuojančių prie klubakaulių sparnų [7]. Su amžiumi diską sudarančių medžiagų proporcijos keičiasi. Mažėja vandens [14–16], proteoglikanų [17–19]. Keičiasi I ir II tipo kolagenų santykis [20–22] bei išsidėstymas. Išnyksta aiški riba tarp disko žiedo ir branduolio. Dėl išvaržų dehidracijos ir fibroblastinės proliferacijos branduolyje formuojasi skaidulinė kremzlė [23–27]. Sutrinka elastingumas, atsparumas spaudimui, atsiranda skaidulinio žiedo plyšimų, kurie dar labiau pagreitina degeneracinių ligų raidą. Irodyta, kad kaulo morfogenetiniai balytmai (angl. *bone morphogenetic proteins*, BMP), β -transformuojančio augimo faktoriaus (TGF- β) grupės citokinai dalyvauja disko degeneracijos procesuose [28–30]. BMP yra aktyvūs augant tarpslanksteliniam diskui, reguliuo-



2 pav. Centrinė (A ir B) ir lateralinė (C) stuburo kanalo stenozė. A – vieno lygio centrinė stenozė nesukelia ryškesnės venostazės; B – dviejų segmentų stenozės atveju susidaro centrinė venostazė, kurios padarinys – abipusė klaudikacija; C – lateralinė stuburo kanalo stenozė – aukštesnio segmento centrinė stenozė ir distalinio segmento lateralinė stenozė, kurios padarinys – lateralinė venostazė ir neurogeninė klaudikacija toje pačioje pusėje

nės šaknelės šakneliniai skausmai. Stuburo kanalo stenozei būdinga simptomų įvairovė, tačiau kliniškai juos galima suskirstyti į keturis sindromus:

- 1) *claudicatio neurogenica*;
- 2) *šakneliniai skausmai*;
- 3) *netipinis kojos skausmas*;
- 4) *lētinis cauda equina sindromas*.

Claudicatio neurogenica yra specifinis stuburo kanalo stenozei (C-Th-L lygyje), tačiau liga gali pasireikšti bet kokiu šių keturių sindromų deriniu.

Claudicatio neurogenica:

- kojų skausmas vaikštant, praeina pasilenkus į priekį;
- važiavimas dviračiu skausmo nesukelia;
- periferinė pulsacijā gera, odos trofikos sutrikimų ir periferinės neuropatijos nėra;
- pėdos šiltos.

Prieš pasireiškiant minėtiems sindromams, ligonis keletą metų skundžiasi degeneraciniu nugaras skausmais: rytiniu sustingimu, praeinančiu atlikus lengvus fizinius pratimus, skausmo sustiprėjimu vaikštant ar kiek ilgiau būnant vienoje padėtyje, stuburo tiesimo metu (lenkiantis platėja stuburo kanalus, mažeja skausmas). Esant degeneracinei spondilolistezei, fleksijos metu padidėja facetinių sąnarių panirimas ir *foramen intervertebrale* srities nervinės šaknelės spaudimas. Todėl šiuo atveju ryškus pagerėjimo lenkimo metu gali ir nebūti. Kojų simptomatika paprastai esti abipusė. Vyrauja skausmas, o ne parestezijos ar raumenų silpnumas. Sustojujų skausmas sumažėja, tačiau ne taip greitai ir ryškiai, kaip sergant periferinių kraujagyslių ateroskleroze.

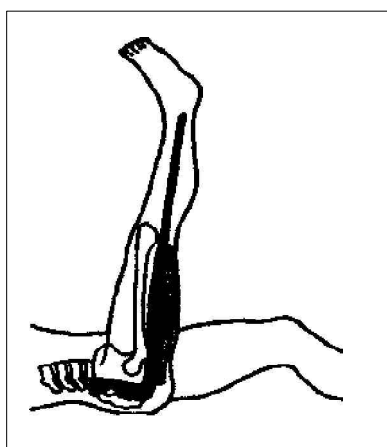
Neurogeninę klaudikaciją (sėdmenų ir kojų skausmus, atsirandančius lagoniui nuėjus tam tikrą atstumą ir praeinančius jam atsisėdus ar susilenkus į priekį) sukelia dviguba kanalo stenozė, t. y. stuburo kanalo susiaurėjimas dvieluose skirtinguose lygiuose. Lagoniui einant, tarpe tarp dviejų stenozių susidaro slankstelių vidinių veninių rezginių stazė. Padidėjęs veninis spaudimas dirgina arklio uodegos nervines šaknelės, sukeldamas abiejų kojų neurogeninės klaudikacijos simptomatiką. *Claudicatio neurogenica* nuo *claudicatio intermittens* padeda skirti 2 lentelėje išvardyti požymiai.

2 lentelė. *Claudicatio neurogenica* ir *claudicatio intermittens* diferencinė diagnostika

<i>Claudicatio neurogenica</i>	<i>Claudicatio intermittens</i>
Kojos skausmas vaikštant	Kojos skausmas vaikštant
Palengvėja sustojus (lėtai)	Palengvėja sustojus (greičiau)
Skausmas sustiprėja ekstenzijos metu	Skausmas nesustiprėja ekstenzijos metu
Skausmas sumažėja fleksijos metu	Skausmas nesumažėja fleksijos metu
Važiavimas dviračiu skausmo nesukelia	Važiavimas dviračiu skausmą sukelia
Periferinė pulsacijā normali	Periferinė pulsacijā susilpnėjusi
Nėra trofikos sutrikimų	Yra trofikos sutrikimų
Nėra periferinės neuropatijos	Gali būti periferinė neuropatiija
Eisena palinkus į priekį	Eisena normali

Šakneliniai skausmai:

- teigiamas ištiesčios kojos kėlimo (IKK), Lasego simptomas (3 pav.);
- refleksų asimetrija (girnelės, Achilo);
- jutimų sutrikimai, parestezijos šaknelių inervuojamų dermatomų projekcijose (4 pav.);
- raumenų silpnumas, raumenų jėgos asimetrija (nykštocio ekstenzija), hipotrofija.



3 pav. IKK testas

Šaknelių dirginimo reiškiniai nėra specifiniai ir dažniausiai pasireiškia tuomet, kai stenozė apima lateralinę stuburo kanalo zoną. Stenozės metu dažniausiai įtraukiama L_5 šaknelė, esanti L_5-S_1 tarpslankstelinėje angajoje, todėl ypatingas dėmesys kreipiamas į pėdos nykštocio tiesimo jėgą (*m. extensor hallucis longus*) bei Tendelenburgo testą (šlaunies abduktoriai: *m. gluteus medius et minimus*). Kartais neurologinė šaknelinė simptomatika išryškėja po apkrovos (*stress*) teste: refleksai ir mo-

torika vertinami po fizinio krūvio (pvz., energingo vaikščiojimo po kambarių), atsiradus pirmiesiems kojų silpnumo ar skausmo požymiams (dėl venostazės tam tikro stuburo segmento lygyje).

Netipinis kojos skausmas:

- kojos skausmas difuzinis, badančio, deginančio pobūdžio;
- skausmo plitimas neatitinka šaknelės inervuoamo dermatomo.

Kai kurie lagoniai nurodo skausmą kirkšnyje, perianliai, sėklidžių ar vulvos srityje.

Lėtinis arklio uodegos (cauda equina) sindromas:

- abipusis kojų skausmas, silpnumas ir jutimo sutrikimas;
- „balno“ tipo anestezija;
- sutrikęs šlapinimasis (10% ligonių, kuriems yra ryški stuburo kanalo stenozė [7]) ir tuštinimasis;
- sutrikusi lytinė funkcija.

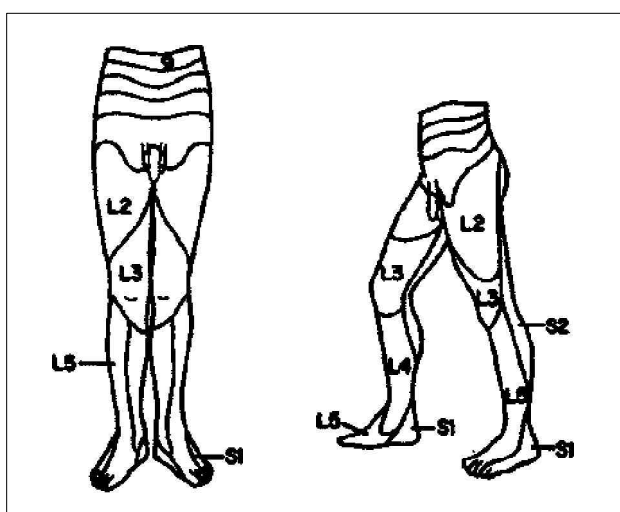
Jeigu stuburo kanalo stenozė ryškesnė aukštesniuose stuburo lygmenyse (L_1 ir aukščiau), cauda equina sindromas pasireiškia apatinį galūnių silpnumu, jeigu žemiau – šlapinimosi, tuštinimosi ir lytinės funkcijos sutrikimu.

Dažnai klinikinio tyrimo metu gaunama per mažai informacijos, reikalingos stuburo kanalo stenozei diagnozuoti. Įtarus stenozę, papildomai atliekami šie tyrimai:

Juosmeninės stuburo dalies rentgenogramos

Įprastinio tyrimo metu atliekamos priekinė (AP), šoninė ir ištrižinė (45 laipsnių) rentgenogramos. Įtarus stuburo anatominio segmento nestabilumą, papildomai gali būti atliktos šoninės rentgenogramos stuburo fleksijos ir ekstenzijos padėtyse (funkcinės rentgenogramos).

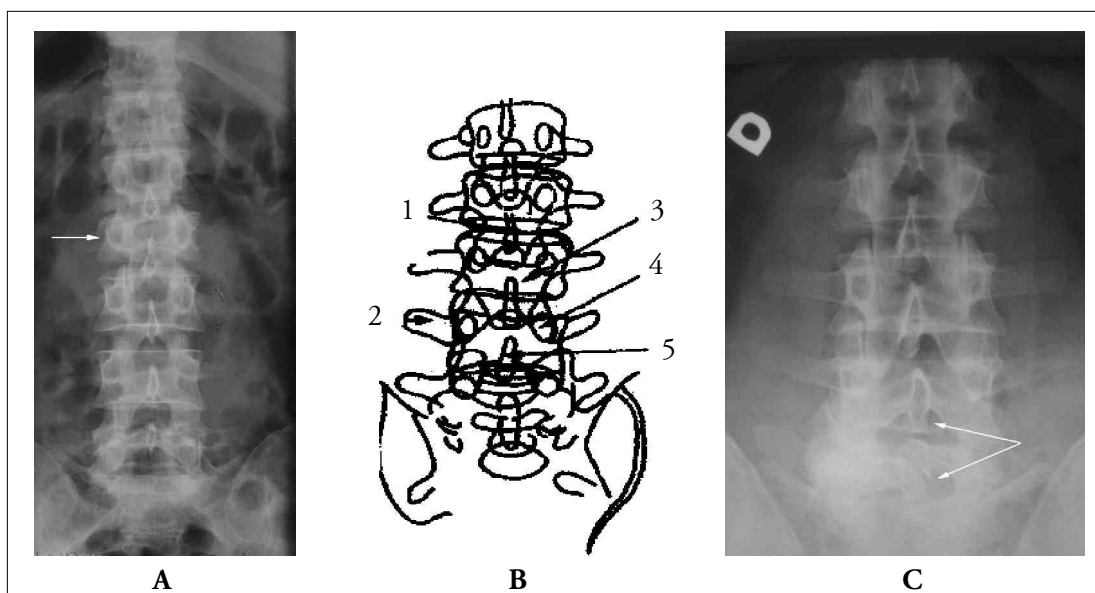
Iš priekinės rentgenogramos (5 pav.) vertinama: a) atstumas tarp slankstelio lanko kojycių (*distantia interpedicularis*). Normaliai jis tolygiai didėja nuo L_1 iki L_5 . Esant atvirkštinei progresijai, galima ištarai įgintą displaziją (achondroplaziją); b) kaulinės išaugos subchondrinio slankstelio paviršiaus lygyje; c) degeneraciniai sąnarinių ataugų pokyčiai (vadinamasis „krūtų“ simptomas – išryškėjusios ir sustorėjusios apatinės sąnarinės ataugos – *processus articularis inferior*). Dažniausiai pasitaiko esant degeneracinei spondilo-



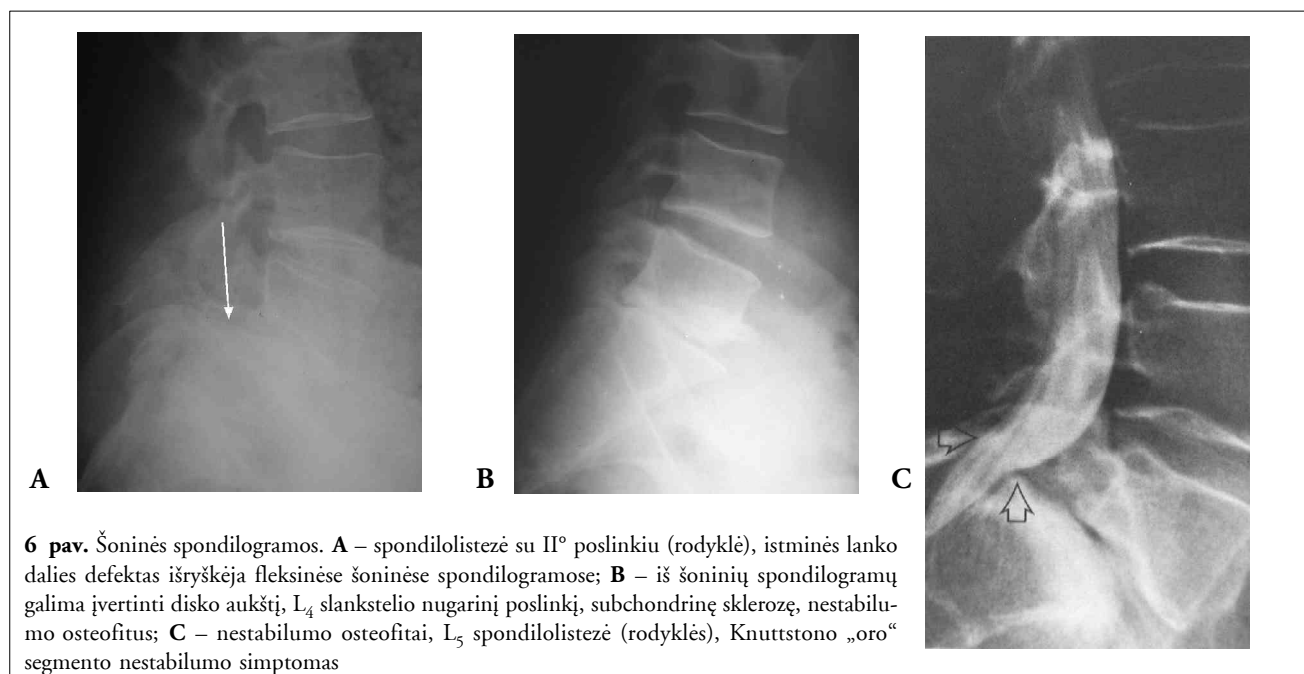
4 pav. Jutimo sutrikimai pagal šaknelių dermatomus

listezei ir sukelia stuburo kanalo stenozę; d) galima įvertinti diskų aukščio pokyčius; e) diagnozuoti *spina bifida*. Iš šoninės rentgenogramos (6 pav.) vertinama: a) pedikulų ilgis – trumpos slankstelių kojytės rodo įgimtą stuburo kanalo stenozę, pailgėjusios kojytės gali būti jų „nuovargio“ lūžio priežastis; b) slankstelių kūnų ir

diskų aukštis; c) nugarinių slankstelių kūnų paviršių linija. Atsiradus priekinei viršutinio slankstelio dislokacijai, išryškėja „laiptelis“ tarp viršutinio slankstelio apatinio ir apatinio slankstelio viršutinio krašto nugarinių paviršių. Spondilolistezės metu gali būti spaudžiamas kietasis nugaros smegenų dangalas, nervų šakne-



5 pav. Priekinės spondilogramos. **A:** pagal keterinių ataugų ašinį iškrypimą galima nustatyti ir įvertinti juosmeninę skoliozę, pvz., skausminę arba trauminę (rodyklę); **B:** 1 – diskų tarpas, 2 – skersinė atauga, 3 – slankstelio kūnas, 4 – slankstelio kojytė (pedikulas), 5 – keterinė atauga; **C:** stuburo kanalo stenozę L_4-L_5 lygyje (deformuotas *pars interarticularis*)

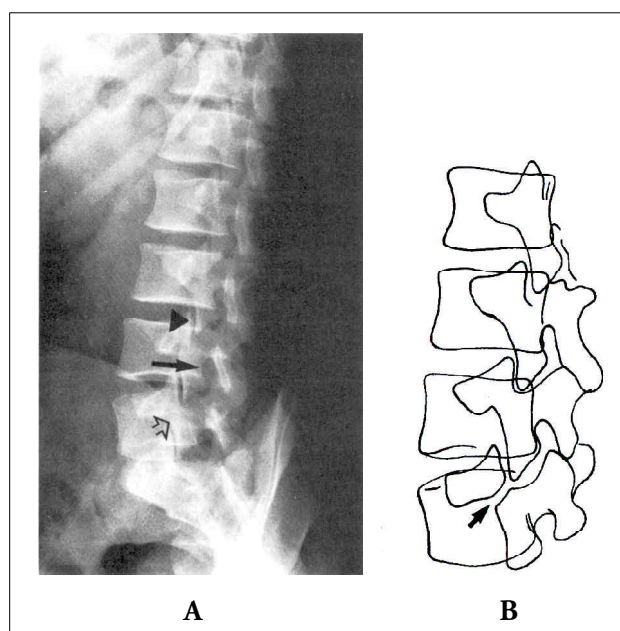


6 pav. Šoninės spondilogramos. **A:** spondilolistezė su II° poslinkiu (rodyklė), istminės lanko dalies defektas išryškėja fleksinėse šoninėse spondilogramose; **B:** iš šoninių spondilogramų galima įvertinti diskų aukštį, L_4 slankstelio nugarinių poslinkių, subchondrinę sklerozę, nestabilumo osteofitus; **C:** nestabilumo osteofitai, L_5 spondilolistezė (rodyklės), Knuttstono „oro“ segmento nestabilumo simptomai

lės. Listežė dažniausiai pasitaiko L₅-S₁ (spondilolizinė) ir L₄-L₅ (degeneracinė) lygyje; d) istminės lanko dalies defektai, būdingi spondilolizei. Defektas padidėja sekinejė funkcinėje šoninėje rentgenogramoje.

Iš išstrižinės rentgenogramos (7 pav.) vertinama: a) *foramen intervertebrale*. Ją gali susiaurinti plokščiųjų sąnarių ar slankstelių kūnų osteofitai; b) sąnariniai plokščiųjų sąnarių paviršiai. Ivertinamas sąnarinio tarpo paplatėjimas arba susiaurejimas, subchondrinė sklerozė; c) *pars interarticularis*. Esant sąsmaukos spondilolizei, galima matyti „šuns pasaitėlio“ požymį: šioje srityje kaulo vientisumas tarsi nutrūksta (virš defekto lieka viršutinė sąnarinė atauga – *proc. articularis superior* su skersine atauga).

Rentgenografija, kaip ir KT bei branduolinis magnetinis rezonansas, suteikia statinę stuburo vaizdą, tačiau jei stenozės stadijos pradinės, skausmo priežastis dažniausiai būna patologiniai stuburo mikro- ir makrojudesiai, dirginantys nervo šaknelę. Todėl ryškiai klinikinei simp-



7 pav. Išstrižinės rentgenogramos. Atliekamos ligonij pasukus į rentgeno aparato vamzdžių 45° kampu; rentgenogramose atsiranda „šotų šuns“ simptomas. A – iš šoninių rentgenogramų vertiname tarpslankstelinis sąnarius (viršutinė rodyklė), *foramen radicis* (vidurinė rodyklė), istminę lanko dalį (*pars interarticularis* – apatinė rodyklė); B – schemiškai pavaizduotas „šotų šuns pasaitėlis“ (rodyklė), t. y. istminės dalies defektas. Šis simptomas išryškėja esant istminei spondilolistezei

tomatikai dažnai būdingi minimalūs rentgenologiniai stuburo pokyčiai, kuriuos galima nustatyti ir paryškinti atliekant dinamines (arba funkcines) rentgenogramas šoninėje projekcijoje. Dinaminės rentgenogramos padeda nustatyti stuburo hiperpaslankumą.

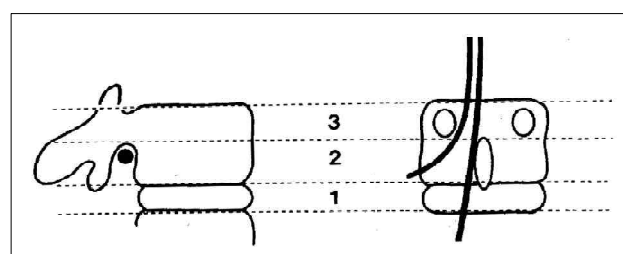
Iš visų rentgenogramų vertinami spondiloartrozinių pokyčiai: subchondrinė sklerozė, osteofitai, kaulinės cistos slankstelių kūnuose.

Kompiuterinė tomografija

Kompiuterinės tomografijos (KT) metu geriau ivertinama kaulo ir minkštujų audinių riba. Tai ypač vertinges tyrimas, kai įtariama kaulinė patologija: potrauminiė stuburo kanalo obstrukcija kauliniai fragmentais, stuburo degeneracinių pokyčių, osteofitų. Pagrindiniai KT pranašumai yra šie:

- didesnė skiriamoji geba. Tai ypač svarbu diferencijuojant skystas organizmo struktūras nuo minkštų (kompiuterinėje tomogramoje tarpslankstelinis diskas nevienalytis, aiškios ribos tarp disko ir jų supančių raiščių). KT skiriamąją gebą dar labiau galima padidinti kartu atliekant mielografiją;
- galimybė vizualizuoti anatomines struktūras įvairose plokščumose;
- santykinių nebrangus tyrimo metodas.

Kad gautume detalų stenozės vaizdą, KT metu reikia atlikti daug pjūvių, todėl šis tyrimas nėra rutinis. Be to, KT be mielografijos nepakankamai išryškina nervų struktūras, todėl subdurinis tumoras gali likti nediagnozuotas. KT vertinti naudojama trijų lygių schema: I – disko; II – foramininio; III – pedikulinio (8 pav.).



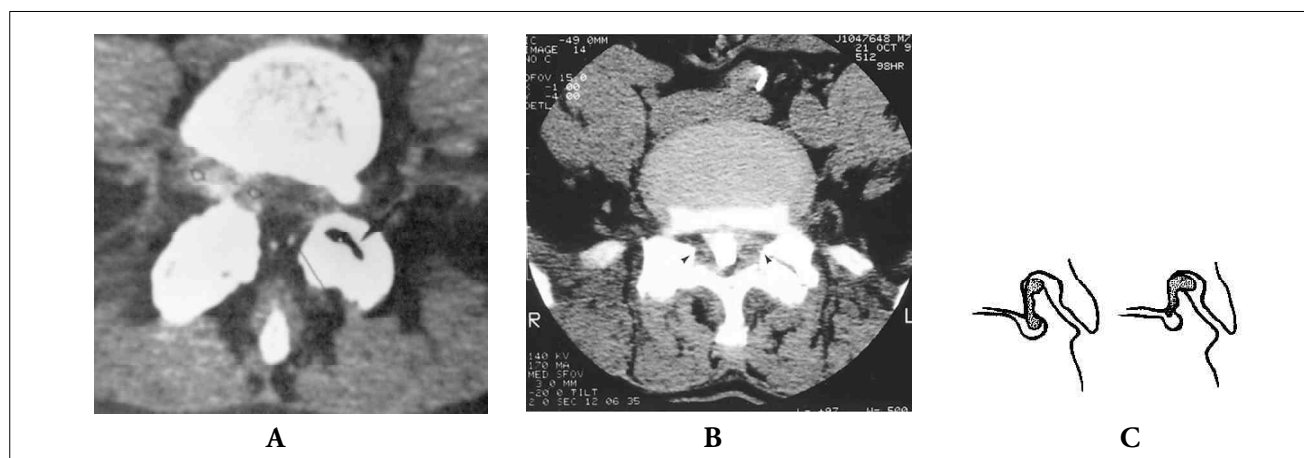
8 pav. KT trijų lygių vertinimo sistema: 1 – disko lygis, 2 – foramininis lygis, 3 – pedikulinis lygis

Nors kiekybiškai įvertinti stuburo kanalo stenozę gana sunku, yra nustatytos kritinės stenozės ribos: juosmeninėje stuburo dalyje atstumas nuo užpakalinių slankstelių kūno paviršiaus iki slankstelio lanko (AP, sagitalinis skersmuo) mažesnis negu 11,5 mm; geltonojo raiščio storis didesnis negu 4 mm; lateralinės „kišenės“ gylis mažesnis negu 3 mm; kanalo skerspjūvio plotas mažesnis nei $77 \pm 13 \text{ mm}^2$.

Svarbūs juosmeninės dalies stuburo stenozės KT požymiai (9 pav.): ovalo formos stuburo kanalo transfor-

diskų lygyje. Jos atsiranda dėl užpakalinj diskų paviršių ir posterolateraliai nugaras smegenų maišo atžvilgiu esančių facetinių sąnarių degeneracinių pokyčių. Sąsmaukų ir normaliai kontrastu besipildančių zonų kaita sudaro vadinamąjį „dešrelės“ vaizdą.

Nervinės šaknelės dislokuojamos anteromedialiai, todėl jas supanti kietojo dangalo „kišenė“ gali neprispildyti kontrasto. Toli pažengusios stenozės atveju gali būti visiška kanalo obstrukcija (11 pav.), trukdanti kontrastui nusileisti žemiau stenozės lygio. Dažnai po



9 pav. A – KT diskų lygyje. Disko pseudoprotruzija L₄ degeneracinių spondilolistezės atveju. Degeneravimo tarpslankstelinio sąnario „vakuumo“ simptomas (juoda rodyklė). Didelio laipsnio stuburo kanalo stenoze su vientisais komponentais, t. y. diskų protruzija bei slankstelio spondilolisteze iš priekio, sąnarių degeneracija bei sustorėjės geltonasis raištis lateralialiai; B – KT foraminaliniame lygyje. Tarpslankstelinų sąnarių degeneracija, deformacija, ryški sklerozė, osteofitai, kurie formuoja lateralinę stuburo kanalo stenozę (rodyklės) ir gali spausti spinalinį nervą (schemiškai – C)

macija į trikampę (dėl užpakalinių slankstelių paviršių ir facetinių sąnarių hipertrofijos); epidurinio riebalinio audinio sumažėjimas. Kompiuterinė tomografija, ypač atlikta kokybiška šiuolaikine aparatūra, gerai parodo netik kaulinio audinio pokyčius (10 pav.), bet ir minkštujų audinių patologiją. Jeigu nepakanka duomenų minkštujų audinių pokyčiams diagnozuoti, prieš KT rekomenduojama atliki mielografinį tyrimą.

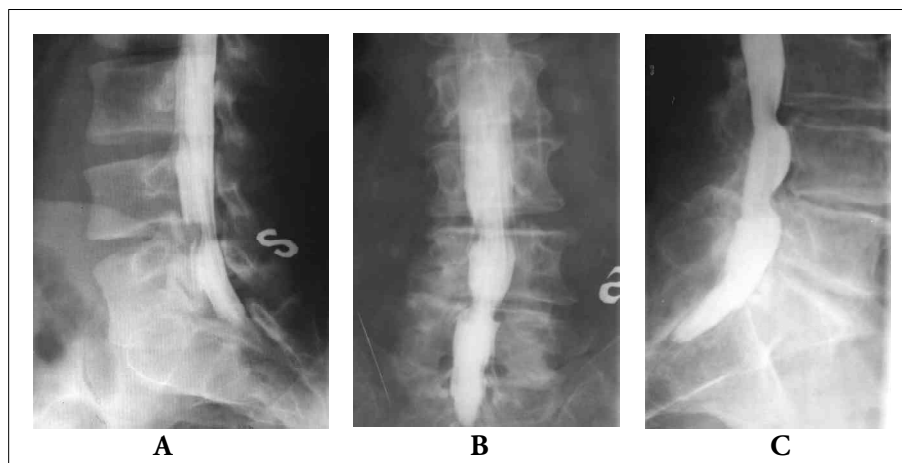
Mielografija

Į subdurinį tarpą suleidus 10–15 ml kontrastinės medžiagos (*Omnipaque*), atliekamos priekinės, šoniės ir ištrižinės rentgenogramos. Tipiškas mielografinis stuburo kanalo stenozę vaizdas yra simetriškos žiedinės kontrasto kolonos sąsmaukos tarpslankstelinį

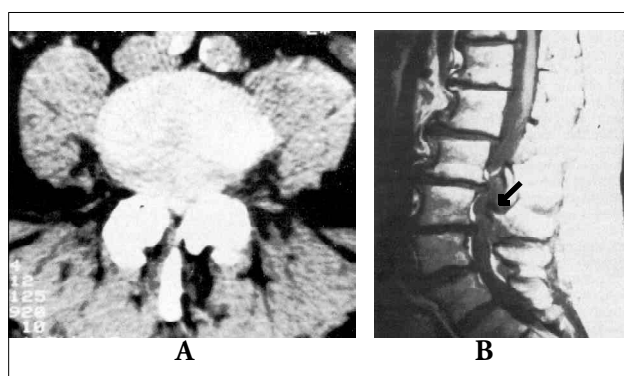


10 pav. KT pedikuliname lygyje. Spondilolizė su abipusių slankstelių kojytės defektu ir matoma kauline skleroze bei osteofitais, būdingais „nuovargio“ lūžiui esant pailgėjusiai kojytei (rodyklė)

mielografijos atliekamos KT, pjūvius pradedant L₁-L₂ lygyje ir baigiant ties kryžkauliu. Šiuo atveju mielografija labai vertinga diferencijuojant reikiama KT lygi. Mielografinis diskų išvažos vaizdas priklauso nuo jų dydžio, lokalizacijos ir stuburo kanalo skersmens. Kadangi lateralinių stuburo kanalo zona yra daug ankštesnė negu centrinė, net ir nedidelė lateralių diskų išvarža (nesukelianti kietojo smegenų dangalo prisipildymo defektą) gali pasireikšti ryškia klinikine simptomatika. Be to, lateraliai slanksteliai kojytės esan-



11 pav. A – rentgenomielografija jstrijinėje projekcijoje. Ryški stuburo kanalo stenoze dėl tarpslankstelinio disko išvaržos ir visiška kanalo obstrukciją. Kontrastas distaline kryptimi prasiskverbia, L₅ šaknelių obstrukcija abipus; **B** – rentgenomielografija priekinėje ir šoninėje projekcijoje, visiška kombinuotoji stenoze L₄–L₅ lygyje; **C** – L₄–L₅ stenoze šoninėje projekcijoje



12 pav. BMR pranašumai, palyginti su KT, ne tik tie, kad BMR kokybiškiau parodo kaulinių bei minkštųjų audinių patologiją, bet ir leidžia ivertinti intratekalines struktūras po kietuoju smegenų dangalu. **A** – kompiuterinė tomografija, šiuo atveju patologijos nėra; **B** – BMR tam pačiam ligoniu, diagnozuota intraduralinė metastazė (rodyklė)

Branduolinis magnetinis rezonansas (BMR)

Atlikus BMR, aiškiai išskiriamaios šios struktūros:

Frontaliniuose pjūviuose: a) šaknelės kanalas; b) šaknelė, nugarinis mazgas; c) slankstelio lanko kojytės; d) slankstelių kūnai; e) tarpslanksteliniai diskai; f) šaknelę lydinti vena.

Sagitaliniuose pjūviuose: a) keterinės ataugos; b) slanks-telių kūnai, kojytės; c) tarpslanksteliniai diskai; d) nu-garos smegenų mažias, pilnas likvoro; e) epidurinis tar-pas, pilnas riebalinio audinio ir veninių rezginių; f) geltonasis raštis; g) facetiniai sąnariai; h) tarpslanks-telinė anga; j) nugarinis mazgas.

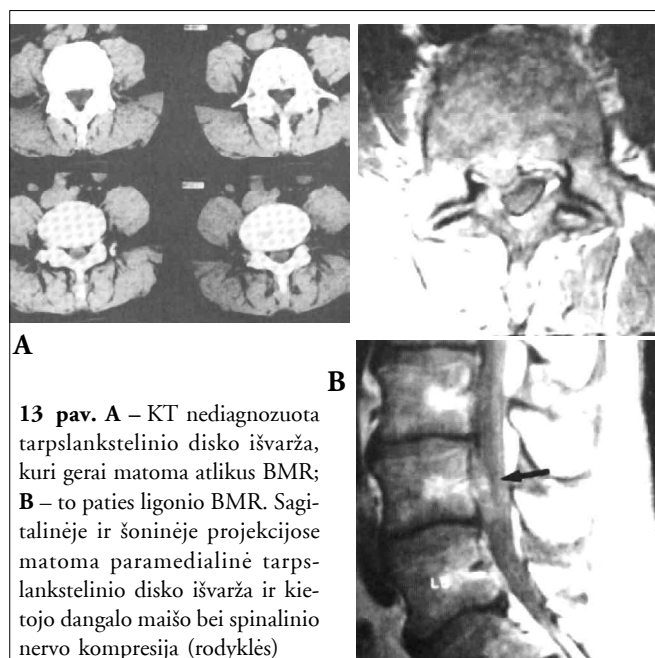
Aksialiniuose pjūviuose: a) slankstelių lankai; b) skaidulinis žiedas; c) minkštuminis branduolys; d) facetiniai sąnariai, sąnarinis plyšys, kapsulė. BMR leidžia pakankamai informatyviai įvertinti vidines nugaro smegenu dangalo struktūras (12 pay.).

BMR yra rezervinis tyrimas ir atliekamas tuomet, kai planuojamas operacinis gydymas, siekiama nustatyti susiaurėjusių segmentų kiekį, įtariamas navikas ar infekcinė liga, norima atskirti pooperacinius randinius pokyčius nuo diskų išvaržos recidyvo, diagnozė yra neaiški ir įprasti tyrimai nepakankamai informatyvūs (13, 14 pav.).

Vertinant stuburo kanalo stenozę, pirmenybė teikiama KT, mielografijai ir tik po to – BMR. Pasirinkimą lemia tiriamo anatominio segmento kaulinių ir minkštujų struktūrų diskretiškumas, galimybė tiksliai išmatuoti centrinės ir lateralinių kanalo zonos skersmenis, atliliki daugiaplokštuminius pjūvius, galimų komplikacijų rizika ir tyrimo kaina.

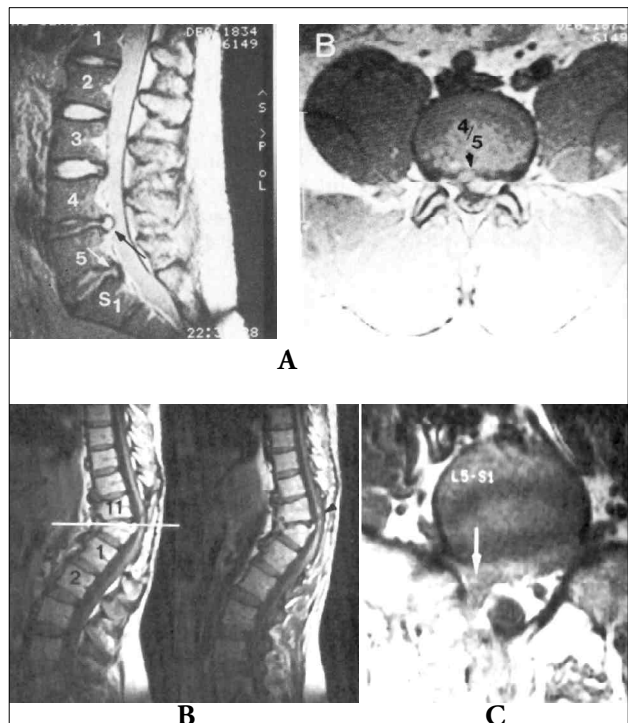
Diskografija

Tai rentgenokontrastinis tyrimas, kai į diskų tarpą suleidžiamą 2 ml kontrastinės medžiagos (*Omnipaque*). Atliekamas esant protruzinei diskų išvaržai, kai mielografija ir KT nepakankamai informatyvios. Diskografijos metu (15 pav.) vertinami du klinikiniai simptomai: 1 – kontrasto išsiliejimas fibrozinio žiedo plyšimo vietoje arba diskų prolapsu padidėjimas; 2 – skausmo pagal atitinkamą šaknelę sustiprėjimas (provokacinis testas). Abiem atvejais po tyrimo ligoniu iškarto suleidžiamą skausmą malšinančių vaistų.

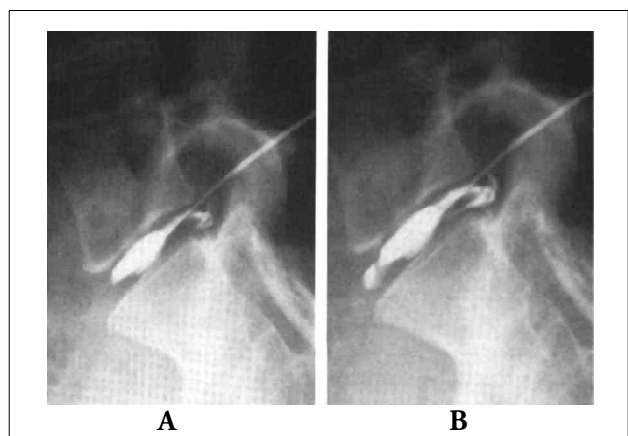


13 pav. A – KT nediagnozuota tarpslankstelinio diskų išvarža, kuri gerai matoma atlikus BMR; B – to paties ligonio BMR. Sagitalinėje ir šoninėje projekcijose matoma paramedialinė tarpslankstelinio diskų išvarža ir kietojo dangalo maišo bei spinalinio nervo kompresija (rodyklės)

Diferencinei stuburo kanalo stenozę sindromui diagnostikai palengvinti pateikiame 3 lentelę.



14 pav. A – L₄ retrolisteze ir tarpslankstelinio diskų išvaržos iškritis iki stuburo kanalo L₂–L₃ segmente, susiformavusi kombinuotoji stuburo kanalo stenozę; B – būklė po L₁ lūžio, matoma ryški potrauminė kifoze, stuburo kanalo stenoza L₁ viršutinio krašto fragmentu (rodyklė); C – informatyvus BMR tyrimas diferencijuojant diskų recidyvą ir pooperacinių randinių; šiuo atveju – pooperacinių rando formavimąsi po diskektomijos (rodyklė)



15 pav. L₅–S₁ diskografija. A – tyrimo pradžia, diskų prolapsu nėra; B – kontrasto suleidimo pabaigoje atsiranda visiško nugarinės fibrozinio žiedo dalies plyšimo rentgenologiniai simptomai

3 lentelė. Diferencinė stuburo kanalo stenozės sindromų diagnostika

<i>Claudicatio neurogenica</i>	<i>Radikulopatija</i>	<i>Netipinis kojos skausmas</i>	<i>Lėtinis cauda equina sindromas</i>
Diferencijuoti nuo	Diferencijuoti nuo	Diferencijuoti nuo	Diferencijuoti nuo
Claudicatio intermittens Širdies ir plaučių nepakankamumo	Neuropatijos Tumoro Infekcijos <i>Herpes zoster</i> Disko išvaržos Nervo traumos	CNS patologijos Koksartrozės Nervo traumos Dubens patologijos Retroperitoneinių darinių Neuropatijos <i>Herpes zoster</i> <i>Polymyalgia rheum.</i> Raumenų spazmo Simpatinės distrofijos	CNS patologijos Disko išvaržos Cervikalės mielopatijos Šlapimo pūslės patologijos Dubens organų patologijos <i>Sclerosis disseminata</i>

LITERATŪRA

1. Dommissé GF. Morphological aspects of the lumbar spine and lumbosacral region. Orthop Clin North America 1975; 6: 163–75.
2. Dupuis PR, Yong-Hing K, Cassidy JD, Kirkaldy-Willis WH. Radiologic diagnosis of degenerative lumbar spinal instability. Spine 1985; 10: 262–76.
3. Postacchini F, Ripani M, and Carpano S. Morphometry of the lumbar vertebrae. An anatomic study in two Caucasoid ethnic groups. Clin Orthop 1983; 172: 296–303.
4. Schonstrom N, and Hansson T. Pressure changes following constriction of the cauda equina. An experimental study in situ. Spine 1988; 13: 385–8.
5. Schonstrom N, Lindahl S, Willen J, and Hansson T. Dynamic changes in the dimensions of the lumbar spinal canal: an experimental study in vitro. J Orthop Res 1989; 7: 115–21.
6. Arnoldi CC, Brodsky AE, et al. Lumbar spinal stenosis and nerve root entrapment syndromes. Definition and classification. Clin Orthop 1976; 115: 4–5.
7. Arbit E, Pannullo S. Lumbar stenosis. A Clinical Review. Clinical Orthopaedic and Related Research 2001; 348: 137–43.
8. Kirkaldy-Willis WH, Paine KWE, Cauchoux J, and McIvor G. Lumbar spinal stenosis. Clin Orthop 1974; 99: 30–50.
9. Kirkaldy-Willis WH, Wedge JH, Yong-Hing K, and Reilly J. Pathology and pathogenesis of lumbar spondylosis and stenosis. Spine 1978; 3: 319–28.
10. Kirkaldy-Willis WH, and Farfan HF. Instability of the lumbar spine. Clin Orthop 1982; 165: 110–23.
11. Kirkaldy-Willis WH. The relationship of structural pathology to the nerve root. Spine 1984; 9: 49–52.
12. Knutsson F. The instability associated with disk degeneration in the lumbar spine. Acta Radiol 1944; 25: 593–609.
13. Videman T, Malmivaara A, and Mooney V. The value of the axial view in assessing discograms: an experimental study with cadavers. Spine 1987; 12: 299–304.
14. Eyring EJ. The biochemistry and physiology of the intervertebral disk. Clin Orthop 1969; 67: 16–28.
15. Gower WE, and Pedrini V. Age-related variations in proteopolysaccharides from human nucleus pulposus, annulus fibrosus, and costal cartilage. J Bone and Joint Surg 1969 Sept; 51-A: 1154–62.
16. Naylor A, and Horton WG. The hydrophilic properties of the nucleus pulposus of the intervertebral disc: VI. Characteristics of human pulposus during aging. Rheumatism 1955; 11: 32–5.
17. Mitchell PEG, Hendry NGC, and Billewicz WZ. The chemical background of intervertebral disc prolapse. J Bone and Joint Surg 1961; 43-B(1): 141–51.
18. Naylor A. The biophysical and biochemical aspects of intervertebral disc herniation and degeneration. Ann Roy Coll Surgeons England 1962; 31: 91–114.
19. Urban JP, and McMullin JF. Swelling pressure of the lumbar intervertebral discs: influence of age, spinal level, composition, and degeneration. Spine 1988; 13: 179–87.
20. Adams P, Eyre DR, and Muir H. Biochemical aspects of development and ageing of human lumbar intervertebral discs. Rheumatol and Rehab 1977; 16: 22–9.
21. Brickley-Parsons D, and Glimcher MJ. Is the chemistry of collagen in intervertebral discs an expression of Wolff's law? A study of the human lumbar spine. Spine 1984; 9: 148–63.

22. Eyre DR. Biochemistry of the intervertebral disc. *Internat Rev Connect Tissue Res* 1979; 8: 227–91.
23. Coventry MB, Ghormley RK, and Kernohan JW. The intervertebral disc: its microscopic anatomy and pathology. Part II. Changes in the intervertebral disc concomitant with age. *J Bone and Joint Surg* 1945 Apr; 27: 233–47.
24. Coventry MB, Ghormley RK, and Kernohan JW. The intervertebral disc: its microscopic anatomy and pathology. Part III. Pathological changes in the intervertebral disc. *J Bone and Joint Surg* 1945 July; 27: 460–74.
25. Eckert C, and Decker A. Pathological studies of intervertebral discs. *J Bone and Joint Surg* 1947 Apr; 29: 447–54.
26. Friberg S, and Hirsch C. Anatomical and clinical studies on lumbar disc degeneration. *Acta Orthop Scandinavica* 1949; 19: 222–42.
27. Harris RI, and Macnab I. Structural changes in the lumbar intervertebral discs. Their relationship to low back pain and sciatica. *J Bone and Joint Surg* 1954; 36-B(2): 304–22.
28. Gruber HE, Hanley EN: Analysis of aging and degeneration of the human intervertebral disc. Comparison of surgical specimens with normal controls. *Spine* 1998; 23: 751–7.
29. Hayashi K, Ishidou Y, Yonemori K, et al. Expression and localization of bone morphogenetic proteins (BMPs) and BMP receptors in ossification of the ligamentum flavum. *Bone* 1997; 21: 23–30.
30. Takae R, Matsunaga S, Origuchi N, et al. Immunolocalization of bone morphogenetic protein and its receptors in degeneration of intervertebral disc. *Spine* 1999; 24: 1397–401.
31. Hall SH, Bartleson JD, Onofrio BM, et al. Lumbar spinal stenosis: Clinical features, diagnostic procedures, and results of surgical treatment in 68 patients. *Ann Intern Med* 1985; 103: 271–5.
32. Blau JN, Logue V. The natural history of intermittent claudication of the cauda equina. *Brain* 1978; 101: 211–22.
33. Parke WW, Watanabe R. The intrinsic vasculation of the lumbosacral spine nerve roots. *Spine* 1985; 6: 508–61.

Gauta:2003 12 01

Priimta spaudai: 2003 12 08